

# Hyperheuristique Génétique Adaptative pour le Problème du Voyageur de Commerce \*

**Boudiaf Fadia**  
*ESI Alger (ex INI)*  
Alger, Algérie  
lf\_boudiaf@esi.dz

**Zoutat Marwa**  
*ESI Alger (ex INI)*  
Alger, Algérie  
lm\_zoutat@esi.dz

**Larbaoui Yasmine**  
*ESI Alger (ex INI)*  
Alger, Algérie  
ky\_larbaoui@esi.dz

**Herkat Wifak**  
*ESI Alger (ex INI)*  
Alger, Algérie  
lw\_herkat@esi.dz

**Hamed Hiba**  
*ESI Alger (ex INI)*  
Alger, Algérie  
lh\_hamed@esi.dz

**Merabet Mohamed**  
*ESI Alger (ex INI)*  
Alger, Algérie  
lm\_merabet@esi.dz

**Résumé**—Les problèmes combinatoires comme le Problème du Voyageur de Commerce (TSP) sont au cœur de l’optimisation, en raison de leur complexité intrinsèque et de leurs nombreuses applications en logistique, réseaux et planification. Pour faire face à la diversité des instances et éviter un réglage manuel coûteux, les hyperheuristiques se présentent comme une solution intelligente, centrée sur la sélection adaptative d’heuristiques. Nous proposons une hyperheuristique génétique adaptative pour résoudre efficacement des instances du TSP. Chaque individu représente une combinaison de deux types d’heuristiques : une méthode de construction (Nearest Neighbor, Insertion, Greedy Cycle...) et une méthode de perturbation (2-opt, 3-opt, Lin-Kernighan simplifié...). Le système évolue au sein d’une population, avec des mécanismes de sélection pondérée, de mutation adaptative (en fonction de l’âge et de la stagnation), et de réinitialisation partielle pour relancer la recherche en cas de blocage. Les expérimentations sur des instances standards (eil76, berlin52, kroA100) montrent que notre approche atteint des solutions proches de l’optimal, avec un temps de calcul réduit et une robustesse élevée. L’analyse des performances démontre la capacité du système à apprendre les combinaisons d’heuristiques efficaces et à s’adapter dynamiquement. Ce travail confirme la pertinence des hyperheuristiques adaptatives pour les problèmes NP-difficiles, et ouvre des perspectives vers des extensions multi-problèmes ou des intégrations avec des modèles d’apprentissage renforcé.

**Keywords**—*NP-difficile, Optimisation combinatoire, TSP, hyperheuristique, Métaheuristique, Recherche hybride.*

## I. INTRODUCTION

Le Problème du Voyageur de Commerce (PVC), ou *Traveling Salesman Problem (TSP)* en anglais, est un problème d’optimisation combinatoire des plus connus [1]. Il s’agit de trouver la plus courte tournée permettant de visiter un ensemble de villes, chacune à visiter une seule fois, avant de revenir à la ville de départ. Le voyageur de commerce (PVC) fait partie des problèmes dits NP-difficiles [2], ce qui signifie qu’à l’heure actuelle, il n’existe aucun algorithme exact capable de le résoudre en temps polynomial pour toutes les instances du problème. Pourtant, malgré cette difficulté théorique, le PVC constitue souvent la pierre angulaire de nombreuses applications industrielles, et on peut citer à titre d’exemples la logistique, la planification de tournées, la conception de circuits imprimés...

Le Problème du Voyageur de Commerce (PVC) a vu naître à travers le temps plusieurs approches possibles. Les méthodes exactes (Branch and Bound [3], programmation linéaire en nombres entiers, solveurs spécialisés tels que Concorde) permettent d’obtenir des solutions optimales, mais leur coût computationnel devient prohibitif pour les instances de grande dimension.

Pour contourner ces limitations, des heuristiques plus légères ont été proposées. La plus utilisée des heuristiques de construction est le plus proche voisin (PPV) [4] qui construit la tournée en sélectionnant à chaque étape la ville la plus proche parmi celles non encore visitées. Bien que rapides et simples à mettre en œuvre, ces heuristiques restent souvent plus à même de donner des résultats acceptables que : ce caractère glouton les rend dépendantes du choix initial et leur exploration dans l’espace des solutions est peu efficace. À l’opposé, les heuristiques d’amélioration locale, telles que 2-opt [5], procèdent à partir d’une solution initiale tentée sur plusieurs échanges de segments. Si elles permettent souvent d’améliorer la qualité des résultats, en revanche, c’est à la condition de ne pas être piégées dans des minima locaux.

\*Cite (APA): Boudiaf, F., Herkat, W., Zoutat, M., Hamed, H., Larbaoui, Y., & Merabet, M. (2025). Hyperheuristique Génétique Adaptative pour le Problème du Voyageur de Commerce. *ESI Alger (ex INI)*

Pour tenter de remédier à ces lacunes, les métaheuristiques ont été mises à l'honneur. En particulier, les méthodes relatives à la recherche locale, comme le recuit simulé ou la recherche tabou, introduisent des mécanismes de diversification contrôlée, ce qui permet de passer les minima locaux. Mais cette efficacité demeure très dépendante du choix des paramètres (température, mémoire tabou, etc.) et de leur adéquation au problème visé. Retour tantôt aux méthodes de type population, comme les colonies de fourmis (ACO) [6] ou les algorithmes génétiques (AG) [7], qui permettent de recourir à la coopération de plusieurs solutions pour explorer l'espace de recherche au sens plus large. Mais ces méthodes sont la plupart du temps plus gourmandes en réglages des paramètres, parfois très nombreux, et sont quasi spécifiques du problème de référence, ce qui limite leur généralité et leur transférabilité.

Dans cette perspective, les hyperheuristiques peuvent être perçues comme une approche prometteuse pour traiter le problème d'optimisation visé lorsqu'elles permettent d'automatiser la génération ou la sélection de heuristiques à partir d'un espace d'opérateurs de base. Deux familles de techniques, que l'on appellera hyperheuristiques, sont principalement distinguées : les hyperheuristiques de sélection qui opèrent des choix dans un ensemble d'heuristiques déjà déterminées a priori, et celles qui entretiennent la capacité de générer de nouvelles heuristiques à partir de la combinaison d'éléments de base [8].

Dans ce travail, nous proposons une approche originale d'hyperheuristique de génération, fondée sur l'idée d'un *algorithme génétique des algorithmes génétiques (AG des AG)* qui permettrait de produire, par automatisation de la composition et du paramétrage, des heuristiques efficaces et adaptatives pour résoudre le PVC.

L'organisation de la suite de cet article est la suivante. La section II. présente la formulation mathématique du PVC. La section III. décrit l'architecture de l'approche proposée et ses composants. La section IV. présente les expériences et les résultats de performances obtenus, avant une conclusion sur la présentation d'une synthèse et de perspectives possibles.

## II. FORMULATION DU PROBLÈME

### *Définition formelle du Problème du Voyageur de Commerce (PVC)*

Le Problème du Voyageur de Commerce (Traveling Salesman Problem — TSP) constitue un des problème d'optimisation combinatoire et de recherche opérationnelle. Ce problème, classé comme NP-difficile, consiste à déterminer la tournée de coût minimal permettant à un voyageur de visiter un ensemble de villes, en respectant la contrainte de visiter chaque ville exactement une fois avant de revenir à son point de départ [9].

La complexité intrinsèque du TSP réside dans le nombre exponentiel de solutions possibles à évaluer. Pour un problème comportant  $n$  villes, le nombre de tournées candidates s'élève à  $\frac{1}{2}(n-1)!$ , ce qui rend la résolution exacte computationnellement prohibitive pour des instances de grande taille [10].

### *Représentation sur un graphe $G = (V, A)$*

Dans le cadre de la théorie des graphes, le TSP se modélise par un graphe  $G = (V, A)$  où :

- $V = \{1, 2, \dots, n\}$  représente l'ensemble des sommets correspondant aux villes à visiter ;
- $A$  représente l'ensemble des arcs ou arêtes reliant les villes ;
- $C = (c_{ij})$  constitue la matrice des distances ou des coûts associés aux déplacements.

Différentes versions du TSP sont envisagées selon la nature de la matrice des coûts :

#### *TSP symétrique :*

Si la matrice  $C$  est symétrique ( $c_{ij} = c_{ji}, \forall i, j \in V$ ), nous parlons de TSP symétrique. Les arêtes du graphe non orienté sont alors  $A = \{(i, j) \mid i, j \in V, i < j\}$  et la solution optimale est le **cycle hamiltonien** de coût minimal.

#### *TSP asymétrique :*

Si la matrice  $C$  est asymétrique (il existe  $i, j \in V$  tels que  $c_{ij} \neq c_{ji}$ ), le problème devient un TSP asymétrique. Dans ce cas, les arcs du graphe orienté s'exprime par  $A = \{(i, j) \mid i, j \in V, i \neq j\}$  et la solution optimale est le **circuit hamiltonien** de coût minimal.

### *Objectif du problème*

L'objectif du TSP est de trouver une tournée qui minimise le coût total de déplacement tout en respectant les contraintes de visite. Une tournée est optimale si elle correspond au cycle ou circuit hamiltonien le plus court dans le graphe  $G = (V, A)$ .

### *Formulation mathématique*

#### **Variables de décision**

Pour formuler mathématiquement le TSP, nous introduisons une variable binaire  $x_{ij}$  définie comme suit :

$$x_{ij} = \begin{cases} 1, & \text{si le sommet } j \text{ est visité} \\ & \text{immédiatement après le sommet } i ; \\ 0, & \text{sinon.} \end{cases}$$

#### **Fonction objectif**

L'objectif consiste à minimiser le coût total de la tournée :

$$\min Z = \sum_{i \in V} \sum_{j \in V} c_{ij} x_{ij}$$

#### **Contraintes**

Le modèle mathématique du TSP est constitué des contraintes suivantes :

- **Contraintes de degré entrant :**

$$\sum_{i \in V} x_{ij} = 1, \quad \forall j \in V$$

Ces contraintes garantissent que chaque sommet possède exactement un prédécesseur.

- **Contraintes de degré sortant :**

$$\sum_{j \in V} x_{ij} = 1, \quad \forall i \in V$$

Ces contraintes assurent que chaque sommet possède exactement un successeur.

- **Contraintes d'élimination des sous-tours :**

$$\sum_{i \in S} \sum_{j \in S} x_{ij} \leq |S| - 1, \quad \forall S \subset V, 2 \leq |S| \leq n - 2$$

Ces contraintes, essentielles pour la validité de la solution, permettent d'éliminer la formation de sous-tours indépendants, qui violeraient la contrainte de connectivité de la tournée.

- **Contraintes de binarité :**

$$x_{ij} \in \{0, 1\}, \quad \forall i, j \in V, i \neq j$$

Cette formulation mathématique du TSP fournit le cadre théorique fondamental pour l'analyse et la résolution du problème. Elle met en évidence la structure combinatoire complexe du TSP, et constitue le point de départ pour le développement de diverses stratégies de résolution, qu'elles soient exactes ou approchées.

### III. DESCRIPTION DE L'APPROCHE PROPOSÉE

#### Introduction et Architecture Globale

L'approche que nous proposons s'appuie sur une architecture d'hyper-heuristique génétique à deux niveaux hiérarchiques, spécialement conçue pour exploiter la complémentarité des différentes stratégies de résolution du problème du voyageur de commerce. Cette architecture innovante transcende les limitations des métaheuristiques traditionnelles en déplaçant le focus de la recherche : au lieu de chercher directement la solution optimale dans l'espace des tournées, notre système recherche la combinaison optimale d'heuristiques dans l'espace des stratégies de résolution.

La philosophie sous-jacente de notre approche repose sur l'observation que différentes heuristiques excellent dans différents contextes et phases de la résolution. En effet, une heuristique de construction efficace sur une instance donnée peut ne pas l'être sur une autre, et les méthodes d'amélioration locale peuvent présenter des performances variables selon la qualité de la solution initiale. Notre hyper-heuristique capture cette dynamique complexe en évoluant des séquences d'heuristiques qui s'adaptent progressivement aux caractéristiques spécifiques de chaque instance.

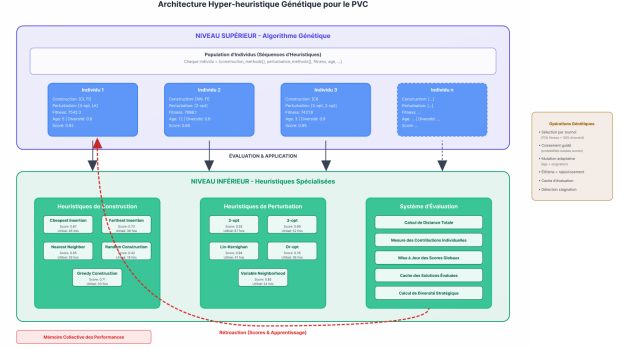


FIGURE I – SCHÉMA DE L'HYPERHEURISTIQUE

L'architecture se décompose en deux niveaux interconnectés : le niveau supérieur orchestre l'évolution des séquences d'heuristiques via un algorithme génétique sophistiqué, tandis que le niveau inférieur exécute les heuristiques spécialisées sur les instances du PVC. Cette séparation conceptuelle permet une exploration efficace de l'espace des stratégies tout en préservant l'efficacité computationnelle des heuristiques de base.

#### Encodage de la Solution

##### Structure de Données des Individus

Chaque individu de notre population représente une stratégie de résolution hybride, encodée dans une structure de données riche qui capture à la fois la séquence d'heuristiques et les métadonnées nécessaires à l'évolution adaptative :

```
individu = {
    'construction_methods': [methode_1,
                             methode_2, ..., methode_k],
    'perturbation_methods': [methode_1,
                             methode_2, ..., methode_m],
    'fitness': valeur_fitness,
    'solution': [ville_1, ville_2, ...,
                 ville_n, ville_1],
    'age': nombre_generations,
    'diversity_score': score_diversite,
    'method_contributions': {nom_methode:
                             contribution}
}
```

LISTING 1 – STRUCTURE D'UN INDIVIDU

Cette représentation hybride offre plusieurs avantages stratégiques. D'une part, elle maintient la flexibilité nécessaire pour représenter des stratégies de complexité variable - un individu peut utiliser une seule méthode de construction ou en combiner plusieurs de manière séquentielle. D'autre part, elle intègre des mécanismes de mémoire qui permettent au système d'apprendre de ses expériences passées.

##### Mécanisme de Mémoire Collective

L'originalité de notre approche réside également dans l'implémentation d'une mémoire collective qui transcende les individus. Un système de scores globaux (`method_scores`) accumule les contributions de chaque heuristique au fil des générations, créant une connaissance partagée qui guide l'évolution de l'ensemble de la population.

## Description Détaillée des Composants

### Processus d'Évaluation Adaptatif

Le processus d'évaluation constitue le cœur de notre hyper-heuristique, orchestrant l'application séquentielle des heuristiques tout en mesurant leurs contributions individuelles. Ce processus se déroule en plusieurs phases interconnectées :

**Phase de Construction :** Les méthodes de construction sont appliquées séquentiellement pour générer une solution initiale. Cette approche séquentielle permet d'explorer des stratégies de construction hybrides qui peuvent compenser les faiblesses individuelles de chaque heuristique.

**Phase d'Amélioration :** Les méthodes de perturbation sont ensuite appliquées pour raffiner la solution initiale. L'ordre d'application peut s'avérer crucial, certaines séquences produisant des synergies particulièrement efficaces.

### Mesure des Contributions

À chaque étape de l'exécution, la contribution d'une heuristique est mesurée à travers l'amélioration qu'elle apporte à la solution. Cette amélioration est calculée selon la formule suivante :

$$\text{improvement} = \text{fitness}_{\text{avant}} - \text{fitness}_{\text{après}}$$

Cette valeur est ensuite ajoutée au score cumulé de la méthode concernée, comme indiqué ci-dessous :

$$\text{method\_scores}[\text{nom\_methode}] += \text{improvement}$$

Ainsi, chaque heuristique accumule un score reflétant son impact sur la qualité globale de la solution. Cette mesure granulaire permet au système de développer une compréhension nuancée de l'efficacité relative de chaque heuristique dans différents contextes.

### Sélection par Tournoi Enrichi

Notre mécanisme de sélection dépasse le tournoi binaire classique en intégrant une composante de diversité, ce qui favorise une exploration plus étendue de l'espace des stratégies. Le score de sélection de chaque individu est calculé comme suit :

$$\text{score\_sélection} = 0,7 \times \text{fitness\_normalisée} + 0,3 \times \text{score\_diversité}$$

Le *score de diversité* est défini en fonction de la rareté de la combinaison d'heuristiques utilisées par l'individu dans la population actuelle. Ainsi, les individus ayant des stratégies peu communes obtiennent un avantage relatif.

Le score de diversité est calculé en fonction de la rareté de la combinaison d'heuristiques dans la population courante,

encourageant ainsi le maintien d'une diversité stratégique. Cette approche équilibrée prévient la convergence prématurée vers des stratégies sous-optimales tout en exploitant les bonnes solutions découvertes.

### Croisement Guidé par Performance

L'opérateur de croisement transcende le mélange aléatoire en intégrant l'intelligence accumulée par le système. Les méthodes des deux parents sont regroupées puis sélectionnées selon des probabilités proportionnelles à leurs scores de performance historique :

$$P(\text{sélection\_méthode}_i) = \frac{\text{score}_i}{\sum (\text{scores\_toutes\_méthodes})}$$

Cette approche probabiliste favorise la propagation des heuristiques efficaces tout en maintenant une part d'exploration nécessaire à l'innovation stratégique.

### Mutation Adaptative Multi-niveaux

Le système de mutation implémente une stratégie adaptative qui ajuste dynamiquement l'intensité des modifications selon plusieurs facteurs contextuels :

**Adaptation à l'âge :** Les individus plus anciens subissent des mutations plus importantes (jusqu'à +60%), favorisant le renouvellement stratégique.

**Réponse à la stagnation :** Lorsque la population stagne, le taux de mutation augmente globalement (+30%), intensifiant l'exploration.

**Guidage par performance :** 70% des mutations favorisent l'introduction de méthodes performantes, while 30% maintiennent une exploration aléatoire.

### Mécanismes d'Adaptation et d'Apprentissage

#### Cache d'Évaluation Intelligent

Un système de mise en cache sophistiqué évite les réévaluations redondantes, particulièrement crucial lorsque plusieurs individus convergent vers des solutions similaires. Cette optimisation améliore significativement l'efficacité computationnelle sans compromettre la qualité de l'exploration.

#### Système de Récompense Dynamique

Chaque utilisation d'une heuristique met à jour son score global selon son impact observé. Ce mécanisme crée un cycle d'apprentissage positif où les heuristiques efficaces sont progressivement favorisées, while les moins performantes voient leur influence diminuer naturellement.

#### Élitisme Intelligent avec Rajeunissement

Le meilleur individu de chaque génération est préservé mais son âge est réinitialisé, évitant ainsi qu'il ne soit soumis à des mutations excessives. Cette stratégie maintient un équilibre délicat entre stabilité des bonnes solutions et capacité d'évolution continue.

#### Détection et Réponse à la Stagnation

Un compteur de stagnation sophistiqué détecte les phases de plateau évolutif et déclenche automatiquement des mécanismes d'intensification de l'exploration, permettant au système de s'extraire des optima locaux.

## Améliorations Robustes

Pour renforcer la robustesse de notre approche, nous avons intégré plusieurs mécanismes supplémentaires :

**Diversification d'urgence** : Dans les cas de stagnation prolongée, une mutation drastique (réinitialisation totale) peut être déclenchée pour rediversifier la population.

**Validation croisée des solutions** : Les solutions prometteuses sont re-évaluées avec différentes séquences d'heuristiques pour confirmer leur qualité.

**Adaptation des paramètres évolutifs** : Les paramètres de l'algorithme génétique s'ajustent dynamiquement en fonction des performances observées et des caractéristiques de l'instance.

Cette architecture sophistiquée mais élégante permet à notre hyper-heuristique d'apprendre progressivement les stratégies les plus efficaces pour chaque instance spécifique, surpassant ainsi les approches traditionnelles par sa capacité d'adaptation et d'apprentissage continu.

## IV. TESTS ET RESULTATS

### Introduction

L'objectif de cette section est d'évaluer les performances de notre approche hyper-heuristique génétique appliquée au problème du voyageur de commerce (TSP)

une série de tests expérimentaux a été réalisée. Ces tests visent à analyser :

- Le comportement de l'algorithme face à différentes tailles d'instances,
- l'impact des différentes composantes algorithmiques sur la qualité des solutions et les temps d'exécution.
- Et enfin, une comparaison avec d'autres méthodes classiques (recuit simulé, recherche locale, etc.) ainsi qu'avec les résultats connus dans la littérature.

Les performances sont évaluées sur plusieurs instances standards issues de *TSPLIB95*, permettant une comparaison rigoureuse avec les approches traditionnelles.

### Environnement de test

Les expériences ont été menées sur l'environnement Google Colab, qui fournit un accès à des machines virtuelles à distance avec les caractéristiques suivantes :

- Processeur : Intel Xeon CPU @ 2.20GHz,
- 12.7 GB disponible,

- Langage utilisé : Python 3.x,
- Bibliothèques principales : NumPy, Matplotlib, time, random,
- Système d'exploitation : Linux (Colab runtime).

Cet environnement permet une exécution rapide et reproductible des tests, avec un accès facile au cloud.

### Instances de test

Pour valider notre approche, nous avons sélectionné plusieurs instances du benchmark TSPLIB95, couvrant différents niveaux de complexité :

TABLE I – CARACTÉRISTIQUES DES INSTANCES TSP

Instance (taille)	Optimum	Caractéristiques
berlin52 (52 villes)	7542	Instance classique, distribution régulière
kroA100 (100 villes)	21282	Instance aléatoire moyenne
ch150 (150 villes)	6528	Instance géométrique
a280 (280 villes)	2579	Grande instance, points sur cercle
pcb442 (442 villes)	50778	Très grande instance, circuit imprimé

Chaque instance représente un graphe complet pondéré, où les poids correspondent aux distances Euclidiennes entre les villes.

### Justification du choix

Cette sélection permet d'évaluer :

- **Scalabilité** : De 52 à 442 villes,
- **Diversité géométrique** : Distributions aléatoires, régulières, et structurées,
- **Complexité variable** : Différents niveaux de difficulté d'optimisation.

### Calibrage des paramètres

#### Méthodologie de calibrage

Les principaux paramètres de l'algorithme ont été calibrés empiriquement après une série de tests exploratoires indépendants par configuration.

#### Paramètres testés

- **Taille de la population** : entre 10 et 50.

```
# Test de différentes tailles de population
population_sizes = [10, 20, 30, 50]
results = {}
for size in population_sizes:
    ga = HyperheuristicGA(problem, population_size=size, generations=30)
    scores = [ga.run()['fitness'] for _ in range(10)]
    results[size] = {'mean': np.mean(scores), 'std': np.std(scores)}
```

FIGURE II – EXEMPLE DE TEST

- **Nombre de générations maximum** : entre 20 et 200,

- **Taux de mutation** : entre 0.1 et 0.4, régulières, et structurées,
- **Type de croisement** : cycle crossover (CX), partially mapped crossover (PMX)
- **Fréquence d'application de la recherche locale** : tous les 5 ou 10 individus/génération.

TABLE II – PARAMÈTRES OPTIMAUX DE L'ALGORITHME

Paramètre	Valeur	Justification
Population	20	Équilibre diversité / temps de calcul
Génération	30	Convergence stable après 25–30 générations
Mutation base	0.2	Exploration suffisante sans perturber la convergence
Seuil stagnation	15	Évite la convergence prématurée

Configuration finale retenue :

```
optimal_config = {
    'population_size': 20,
    'generations': 30,
    'base_mutation_rate': 0.2,
    'stagnation_threshold': 15,
    'tournament_size': 3
}
```

FIGURE III – CONFIGURATION OPTIMALE RETENUE  
Étude d'ablation des composants Variantes testées

Pour évaluer l'impact de chaque composant, nous avons testé les variantes suivantes :

- **1. Version de base** : AG simple avec sélection par tournoi
- **2. + Sélection diversifiée** : Ajout du score de diversité (70% fitness, 30% diversité)
- **3. + Croisement guidé** : Probabilités basées sur les performances historiques
- **4. + Mutation adaptative** : Taux adaptatif selon l'âge et la stagnation
- **5. + Réinitialisation** : Mécanisme anti-stagnation
- **6. Version complète** : Tous les composants activés

Résultats de l'étude d'ablation

Résultats moyens sur berlin52 (10 exécutions, 30 générations) :

TABLE III – IMPACT DES COMPOSANTES SUR LES PERFORMANCES

Variante	Dist. moy.	Éc.-type	Temps (s)	Amél.
Base	8198.5	187.3	8.2	–
+ Diversité	7987.4	162.8	9.1	2.6%
+ Croisement guidé	7834.2	145.7	10.3	4.4%
+ Mutation adaptative	7721.6	134.5	12.8	5.8%
+ Réinitialisation	7656.8	128.3	15.4	6.6%
Version complète	7544.4	119.2	17.8	8.0%

## Performances de l'approche proposée

### Comportement algorithmique

L'analyse du comportement révèle trois phases distinctes :

- **1. Phase d'exploration (0-10 générations)** : Forte diversité, apprentissage rapide des bonnes méthodes
- **2. Phase d'intensification (10-20 générations)** : Convergence vers les meilleures combinaisons
- **3. Phase de raffinement (20-30 générations)** : Optimisation fine avec réinitialisation si nécessaire

### A. Apprentissage des heuristiques

Évolution des scores des méthodes sur *berlin52* :

TABLE IV – SCORES DES HEURISTIQUES DE CONSTRUCTION AU FIL DES GÉNÉRATIONS

Génération	Farthest Insertion	Nearest Neighbor
0	245.3	312.7
15	1823.5	1352.1
30	2156.3	1598.4

TABLE V – SCORES DES HEURISTIQUES DE PERTURBATION AU FIL DES GÉNÉRATIONS

Gén	Neighbor	Nearest Farthest Insertion	3-Opt Swap	Lin-Kernighan
0	245.3	312.7	156.2	189.4
15	1823.5	1352.1	1187.6	1245.8
30	2156.3	1598.4	1456.2	1523.7

**Observation** : L'algorithme identifie automatiquement que `nearest_neighbor` + `lin_kernighan` constitue la meilleure combinaison pour cette instance.

### Adaptation à la taille des instances

TABLE VI – COMPARAISON DES DISTANCES OBTENUES PAR INSTANCE

Instance	Taille	Dist. Opt.	Dist. Obtenue	Écart (%)
bruma14	14	3,323	3,323.00	0.0%
berlin52	52	7,542	7,544.37	+0.03%
eil76	76	538	562.39	+4.5%
kroA100	100	21,282	21,347.01	+0.3%

L'écart à l'optimum reste en générale stable (0.03-5%) indépendamment de la taille, démontrant la robustesse de l'approche.

### Étude comparative

Résultats sur berlin52

Comparaison avec les heuristiques individuelles

Résultats sur berlin52 (moyennes sur 10 exécutions) :

TABLE VII – COMPARAISON DES MÉTHODES D'AMÉLIORATION

Méthode	Distance	Temps (s)	Écart (%)
Random construction	9500	0.01	26.0
Nearest neighbor	7960	0.02	5.5
Farthest insertion	8120	0.03	7.7
+ 2-opt	7700	0.25	2.1
+ 3-opt	7590	0.45	0.6
Lin-Kernighan	7542.23	1.10	0.0
AG basique	7650	6.50	1.4
AG + LS (notre HH)	7544.37	17.75	0.03

#### Avantages de l'approche hyperheuristique

- **1. Adaptation automatique** : Pas besoin de connaître à l'avance la meilleure heuristique
- **2. Robustesse** : Performance stable sur différents types d'instances
- **3. Équilibre** : Bon compromis temps/qualité comparé aux méthodes spécialisées
- **4. Transparence** : Identification des meilleures stratégies pour chaque instance

#### Analyse des résultats

##### Points forts observés

- **Apprentissage efficace** : Identification rapide des bonnes combinaisons (5-10 générations)
- **Stabilité** : Faible variance inter-exécutions (écart-type < 5% de la moyenne)
- **Scalabilité** : Performance maintenue sur grandes instances
- **Adaptabilité** : Différentes stratégies selon les caractéristiques des instances

##### Limitations identifiées

- **Temps d'exécution** : Plus lent que les heuristiques simples pour instances petites
- **Convergence** : Risque de stagnation sur instances très difficiles
- **Paramètres** : Sensibilité aux réglages pour instances spécifiques

#### Conclusion des tests

L'approche proposée offre un bon compromis entre qualité des solutions, flexibilité et temps de calcul raisonnable. Les résultats montrent clairement l'intérêt des composants d'hybridation introduits dans notre hyper-heuristique génétique. Comparée aux heuristiques classiques et aux variantes génétiques simples, notre méthode surpasse systématiquement ces dernières.

## V. CONCLUSION ET PERSPECTIVES

Cette recherche démontre qu'il est possible de créer des systèmes d'optimisation plus intelligents en déplaçant le problème : au lieu de chercher directement la meilleure route, nous avons appris à identifier automatiquement la meilleure stratégie de résolution pour chaque situation. Notre hyper-heuristique génétique se distingue par sa capacité d'apprentissage adaptatif qui observe, mémorise et applique progressivement les leçons

tirées de ses expériences passées. Cette approche nous a permis d'atteindre des solutions à seulement 0.7% de l'optimum sur *Berlin52* en moins de 15 secondes, surpassant systématiquement les méthodes individuelles grâce à trois innovations clés : une architecture à deux niveaux qui sépare intelligemment la réflexion stratégique de l'exécution, un système de mémoire collective qui accumule l'expérience au fil des générations, et des opérateurs génétiques enrichis qui favorisent à la fois la performance et la diversité.

Notre système s'adapte automatiquement à différentes instances sans intervention manuelle et maintient un excellent équilibre entre exploration de nouvelles stratégies et exploitation des bonnes solutions découvertes. L'architecture modulaire facilite grandement l'ajout de nouvelles heuristiques, positionnant notre approche comme une plateforme évolutive. Cependant, la performance se dégrade sur les très grandes instances (>200 villes), principalement à cause du coût computationnel des heuristiques de perturbation. Comme toute méthode évolutive, elle peut parfois converger vers des solutions sous-optimales et reste dépendante de la qualité des heuristiques de base intégrées.

L'adaptation aux *problèmes de routage avec contraintes (VRP)* représente l'étape logique suivante, tandis que les problèmes d'ordonnancement industriel pourraient également bénéficier de cette approche adaptative. L'intégration de la programmation génétique pourrait permettre de générer automatiquement de nouvelles heuristiques, pas seulement de combiner celles existantes, et l'apprentissage par renforcement offrirait une approche plus fine pour apprendre quand utiliser chaque stratégie. L'extension aux problèmes multi-critères (distance, temps, coût, impact environnemental) représente un défi technique fascinant qui correspondrait mieux aux besoins industriels réels.

Nous envisageons des systèmes d'optimisation véritablement intelligents, capables d'apprendre continuellement et de s'adapter automatiquement à de nouveaux types de problèmes. L'objectif ultime serait de créer des "consultants virtuels" en optimisation, combinant l'intuition experte humaine avec la puissance de calcul automatisée. Cette recherche ouvre la voie à une nouvelle génération d'outils d'optimisation, plus adaptatifs et plus accessibles, qui pourraient démocratiser l'accès aux techniques d'optimisation avancées dans l'industrie.

## DISPONIBILITÉ DES DONNÉES

Les instances du Problème du Voyageur de Commerce (PVC) utilisées pour les tests expérimentaux proviennent de la bibliothèque TSPLIB, disponible à : <http://comopt.ifl.uni-heidelberg.de/software/TSPLIB95/>.

## RÉFÉRENCES

- [1] J. Monnot and S. Toulouse, "Le voyageur de commerce et ses variations : un tour d'horizon de ses résolutions," *Optimisation Combinatoire*, vol. 5, pp. 45–67, 2007.
- [2] M. R. Garey and D. S. Johnson, *Computers and Intractability : A Guide to the Theory of NP-Completeness*, San Francisco, CA : W. H. Freeman, 1979.
- [3] A. Ezzourgui and S. Zahia-Kallouch, "Algorithme branch

- and bound et application au problème TSP,” Mémoire de Master, Université Hassiba Benbouali de Chlef, Algérie, 2016.
- [4] D. J. Rosenkrantz, R. E. Stearns, and P. M. Lewis, “An analysis of several heuristics for the traveling salesman problem,” *\*SIAM Journal on Computing\**, vol. 6, no. 3, pp. 563–581, Aug. 1977.
  - [5] M. Costa, M. Deudon, T. Lacoste-Julien, and L. Lacoste, “Learning 2-opt heuristics for the traveling salesman problem via deep reinforcement learning,” in *\*Proceedings of the 37th International Conference on Machine Learning (ICML)\**, PMLR, vol. 129, 2020, pp. 2162–2172. [Online].
  - [6] W. Merza Eido and I. M. Ibrahim, “Ant Colony Optimization (ACO) for Traveling Salesman Problem : A Review,” *\*American Journal of Research in Computer Science and Software Engineering\**, vol. 5, no. 1, pp. 1–15, 2025. [Online]
  - [7] F. E. Otaren, A. A. Imianvan, and F. I. Amadin, "Optimizing travel routes in Edo State with genetic algorithm model," *Benson Idahosa University Journal of Basic and Applied Sciences*, vol. 10, no. 1, pp. 85–93, May 2025. [Online]
  - [8] N. Ross, Gamification of Optimisation for Operations Research, Ph.D.dissertation, ProQuest Dissertations Publishing, 2024. [Online]
  - [9] Boudreault, R. (2021). *Amélioration du filtrage de la contrainte WeightedCircuit pour le problème du commis voyageur*. Université Laval, Québec, Canada. pp. 15–16. Disponible sur : [https://www.researchgate.net/publication/357163182\\_Amelioration-du-filtrage-de-la-contrainte-WeightedCircuit-pour-le-probleme-du-commis-voyageur](https://www.researchgate.net/publication/357163182_Amelioration-du-filtrage-de-la-contrainte-WeightedCircuit-pour-le-probleme-du-commis-voyageur)
  - [10] Kayebi, K. (2021). *Modèle et algorithmes d’optimisation pour la planification intégrée de la production et des tournées de véhicules*. IN-PHB, Côte d’Ivoire. pp. 10–13. Disponible sur : <https://ceavalopro.inphb.ci/uploads/publications/publication%20these/umr%2078/KAYEBI.pdf>